

長崎大学工学部。武政剛弘、松原茂、古本勝弘

1 まえがき、長崎市では、水準の水不足の解消のために河口側の造成に深い関心を示している。河川上流に貯水池を構築した場合に河口付近の流量の減少のため塙分の選上が著しく増加して塙害の発生などが懸念されている。こうした現況に基き実用面から塙分選上の実態を把握しておくことは河口側の設計に必要であり、又学術的にもあまり観みられてなかった小河川の水理挙動を知る事は意味のある事である。著者らは46年度から長崎県西彼杵郡大瀬戸町の流域面積 51.95 km^2 で河口近くで流域面積 15.94 km^2 の支川（河通川）を合せて東シナ海に注ぐいわゆる小河川である雪浦川の現地調査を続けている。47年12月21日5時から12時までの間15分おきに継続方向6地点（河口より 2.48 km , 2.80 km , 3.08 km , 3.47 km , 3.69 km , 3.77 km ）にて水位（ 3.77 km の地点のみ）、鉛直方向の温度及び電気伝導度を測定した。ここではその結果のみを報告する。

2 塙分選上、海水の特性を示す量としては、電気伝導度と水温があげられる。海水の浸入を調べると海水の密度は塙分濃度ひいては密度に換算できるという意味で当然測定の対象とすべき量であるが、電気伝導度は潮汐に伴って変化するけれども時間的に新しく潮汐によって運ばれた海水と、それ以前の潮汐ならばにその他の原因によつて河口から上流に侵入して来たものとの間の区別を現場の実測から見出す事は甚だ困難である。これに対して水温は、冬期には河川水より相当高い温度をもつ海水塊（雪浦川に於いて冬期その差約 7°C ）は、上潮時選上につれて冷却するという欠点はあるにしても、このことが逆に時間と共に消滅する生命を持つものとしてこれまでに歴史的に以前に侵入（存在していた塙分塊と区別する手掛りを予想）してゐる。以上のようないわゆる予想に基いて河川継続方向に温度を中心にして水位変化と同時に7時から12時まで1時間おきの継続方向の6点における温度分布の継続面図を下に \rightarrow へ \rightarrow に示している。ここでは河口より 3.77 km における12月21日の7時の水位を0としてそれから相対的水位を示している。なお 3.77 km と河口（ 0 km ）における水位変動の位相差は過去の観測により15分前後であるが、今回の観測地點においては 3.77 km と 2.48 km の位相差は約1分前後であるため水面曲線は水平とみなす事が出来る。そして水面上に記入した数字は、観測地點の表面水温を示している。河床図は長崎県土木事務所の測量図に書いている。そして水温と同時に電気伝導度を測定して水温との対応をつけた。それによると上げ潮の初期の7時ににおける河口より 2.8 km , 3.69 km 、上流の2点の温度と電気伝導度の対応を鉛直分布について見るに次の様になる。 (2.8 km) 0.0 m: 7.8°C , $7800 \mu\text{m/cm}$, 0.6 m: 8.7°C , $10900 \mu\text{m/cm}$, 1.2 m: 11.0°C , $17400 \mu\text{m/cm}$, 1.8 m: 14°C , $33400 \mu\text{m/cm}$, (3.69 km) 0.0 m: 7.0°C , $1050 \mu\text{m/cm}$, 0.6 m: 11.8°C , $11700 \mu\text{m/cm}$, 1.2 m: 12.9°C , $24000 \mu\text{m/cm}$, これによると表面では下流の方が温度と電気伝導度の両者が上流に比べて高めの水深 0.6 m の所では電気伝導度はほぼ同じくらいになっている。これに対して水温は上流の方が高い値を示している。それより深い等水深での値を比較すると常に上流の方が高い値を示している。ひ

高潮の始まり 10 時では上述の 2 点においては、
(2.8 Km の地点)

0.0 m: 9.5°C , $12500 \mu\text{m}/\text{cm}$
0.6 m: 13.1°C , $32100 \mu\text{m}/\text{cm}$
1.2 m: 13.8°C , $35200 \mu\text{m}/\text{cm}$

(3.69 Km の地点)

0.0 m: 8.1°C , $4700 \mu\text{m}/\text{cm}$
0.6 m: 10.5°C , $15200 \mu\text{m}/\text{cm}$
1.2 m: 11.6°C , $17800 \mu\text{m}/\text{cm}$

となつてゐる。この状態になると等水深で比較すると、上流の方より電気伝導度、水温の両者が共に常に低い値を示してゐる。しかし

だいたいにおりて水温が 12°C 以上になると $2 \times 10^4 \mu\text{m}/\text{cm}$ 以上の高塩分濃度の海水となつており、水温 $8^{\circ}\text{C} \sim 9^{\circ}\text{C}$ 附近の水塊は $10^4 \mu\text{m}/\text{cm}$ から 11°C の塩分濃度を持たる

と推測され、温度で塩分濃度の目安をつかむ事が出来る。この河川における上流から下流への流下水量は約 $1 \text{ m}^3/\text{sec}$ からである。Fig. 2 の 7 時における上げ潮初期による縦断面の水温分布を見ると等温線の盛な所は表面より 50 cm 前後には存在して、高塩分の海水

は層に存在して浅瀬が存在する上流 3.7 km の地点まで延びてゐる。しかしこの上流の下層の高塩分の海水は下層の水量が少ないので、流速が遅く河床に残されていたものと推測される。Fig. 3 の水位上昇度が激しく、水位がかなり高くなつた 8 時にはすべての層で流れは上流に向い、等温線分布が粗になり水平からやや鉛直に傾く

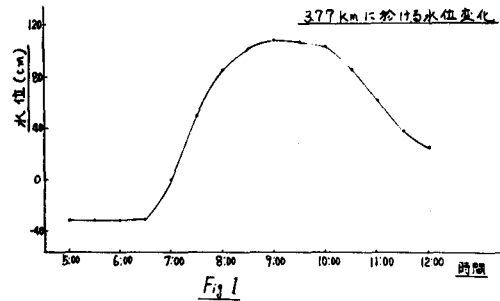
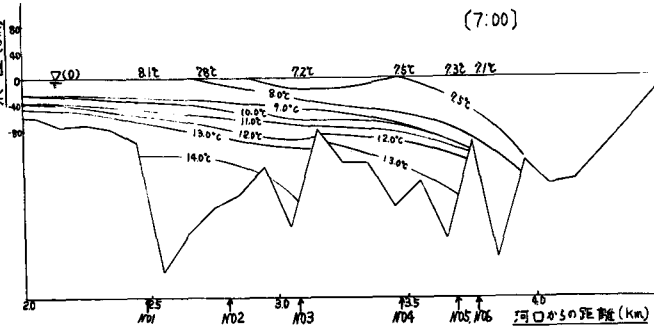


Fig. 1

(7:00)



ようになる。上流では低温度の等温線がや・鉛直に密となり低温度の河川流入淡水がせき止められたよう分形になっている。ミサガ島の各観測点の鉛直方向の水温分布はほぼ直線的になつてゐる。Fig.4に示す時の停潮時になるとすでに表面の淡水は下流方向に流れ始めている。しかし底はまだ高濃度塩分の海水が上流に流れでると認められる跡が見受けられる。これは河口より3km付近では等温線が密な所が表より30cmくらいの所に位置するようになつてゐる事実から推定される。底の等温線は鉛直断面図中で見られるように先端が丸味をおびたようになり海面もしくはマリナ。この状態がまだ水位の変化ない10時頃まで続つてゐる。次でFig.5からFig.7までに示した下げ潮になると上層の淡水層が次第に厚さを増し水位の下降に伴つて表面より10cmくらいの所に等温線の密な層を形成するにいたる。それ以後は淡水層の厚さは變らず水位が下がつてゐる。干潮の状態になつても河岸にたまつた塩水を流掉するだけの流下河水がなくてそのまま存在して次の上げ潮時下層から高塩分濃度の層を増してゆく様な様子が観測によつて確かめられた。終りにこの観測に協力して下さつた教室の方々に謝意を表します。

参考文献

松原、古本、武政、藤田。
西部地区における災害の地域的特性に関する総合的研究（雲浦川感潮部における入退潮と海水の侵入）。

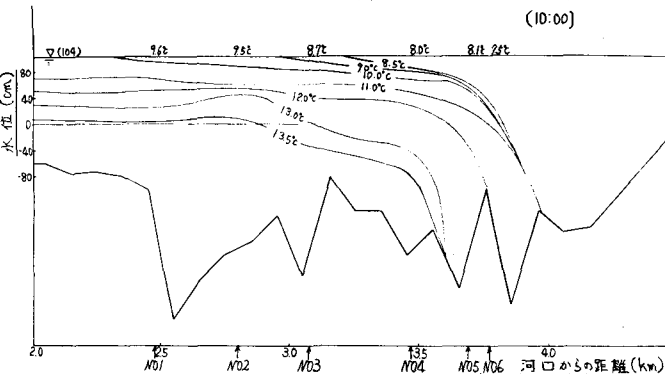


Fig. 5

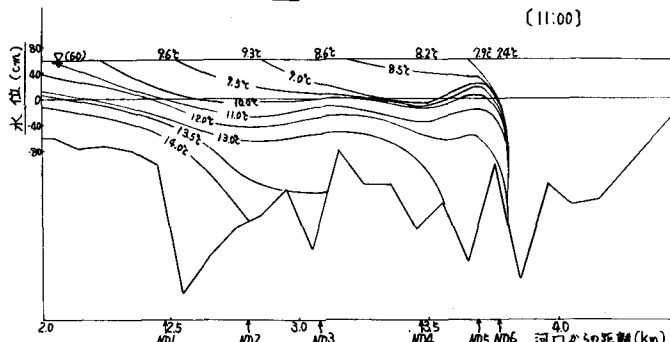


Fig. 6

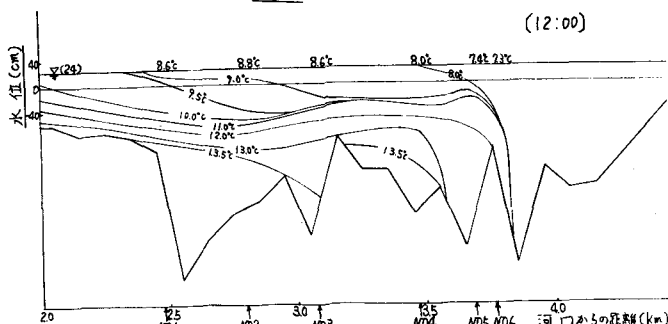


Fig. 7